

บทที่ 5

การทดสอบและวิเคราะห์ผล

ในบทนี้จะกล่าวถึงการทดสอบโมดูลของ HLA ที่ได้ออกแบบและสร้างไว้ ทั้งในส่วนของ Object Management, Data Distribution Management และ Time Management โดยจะเปรียบเทียบกับแนวคิดทางทฤษฎีและการวิเคราะห์ผลลัพธ์จากการจำลองเพื่อใช้เป็นแนวทางสำหรับการประเมินสมรรถนะของ Federation เช่น การวิเคราะห์ความเชื่อถือได้ของ Federation หรือ การวิเคราะห์สภาวะการจำลองแบบเวลาจริง สำหรับส่วนของสคริปต์ OTcl ที่ใช้สำหรับการจำลองในบทนี้ได้รวมไว้ในภาคผนวก ก

5.1 การทดสอบโมดูล Object Management, Data Distribution Management และ การวิเคราะห์ความเชื่อถือได้ของ Federation

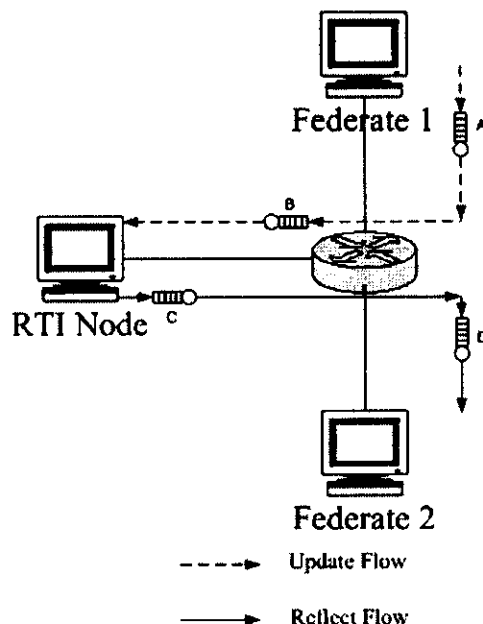
ในบทที่ว่าด้วยการออกแบบ ได้แสดงให้เห็นว่าโมดูล HLA ที่ได้จะเป็นไปตามข้อกำหนดมาตรฐาน ทั้งในส่วนของ Object Management, Data Distribution Management และ Time Management แต่ในหัวข้อนี้จะกล่าวถึงการทดสอบระบบโดยการวัดผลลัพธ์จากการทดลองและนำมามเปรียบเทียบกับผลลัพธ์ทางทฤษฎี เนื่องจากใน ns ได้สร้างโมดูลของคิวไว้เป็นส่วนพื้นฐานสำหรับการทำงานของระบบทั้งหมด โดยสร้างไว้เป็นส่วนหนึ่งของ Communication Link (The ns Manual, 2002) เราจึงสามารถใช้ผลลัพธ์จากทฤษฎีคิวเพื่อเปรียบเทียบ โดยในขั้นตอนจะต้องตั้งค่าระบบทดสอบให้เป็นไปตามทฤษฎีคิวและวัดค่าผลลัพธ์ แล้วนำมามเปรียบเทียบกับผลลัพธ์จากสูตรซึ่งเป็นผลลัพธ์ในเชิงทฤษฎีและตอนท้ายจะกล่าวถึงการวิเคราะห์ความเชื่อได้ของ Federation ด้วย

การทดสอบอาศัยพอโลยีดังรูปที่ 5.1 และ 5.3 เป็นฐานในการทดสอบเปรียบเทียบ โดยกำหนดให้มีอ้อมเงกต์การจำลอง A อยู่ที่ Federate 1 ซึ่งจะทำหน้าที่เป็นผู้ผลิตกระแสของ การปรับปรุงข้อมูล และที่ Federate 2 จะสมัครสมาชิกต่ออ้อมเงกต์การจำลอง A ซึ่งจะทำให้กระแสของการปรับปรุงจากอ้อมเงกต์การจำลอง A จาก Federate 1 ถูกสะท้อนโดย RTI นุ่งหน้าสู่ Federate 2 โดยลักษณะการตั้งค่าของ Federate 1 เป็นดังนี้

- อ้อมเงกต์การจำลอง A ปรับปรุงข้อมูลซึ่งทำให้เกิดโหลดต่อระบบ 70, 80, 85, 88, 90, 95 และ 98 เปอร์เซ็นต์ ตามลำดับ และมีการกระจายแบบเอ็กโพเนนเชียล (Exponential Distribution)

- แต่ละครั้งของการปรับปรุงข้อมูลมีขนาดเฉลี่ย 110 ไบต์ และมีการกระจายแบบเอ็กซ์เพนเชียล (Exponential Distribution)
- ทุกๆ ลิงค์มีเบนค์วิท์ 1000 บิตต่อวินาที (bps) และมีความหน่วงแพร์กี้ร่างกาย 10 มิลลิวินาที (ms)
- ขนาดของบันไฟฟอร์ของคิว A ถึง D เป็น 10,000
- ใช้ UDP เป็นโปรโตคอลสำหรับส่งข้อมูล

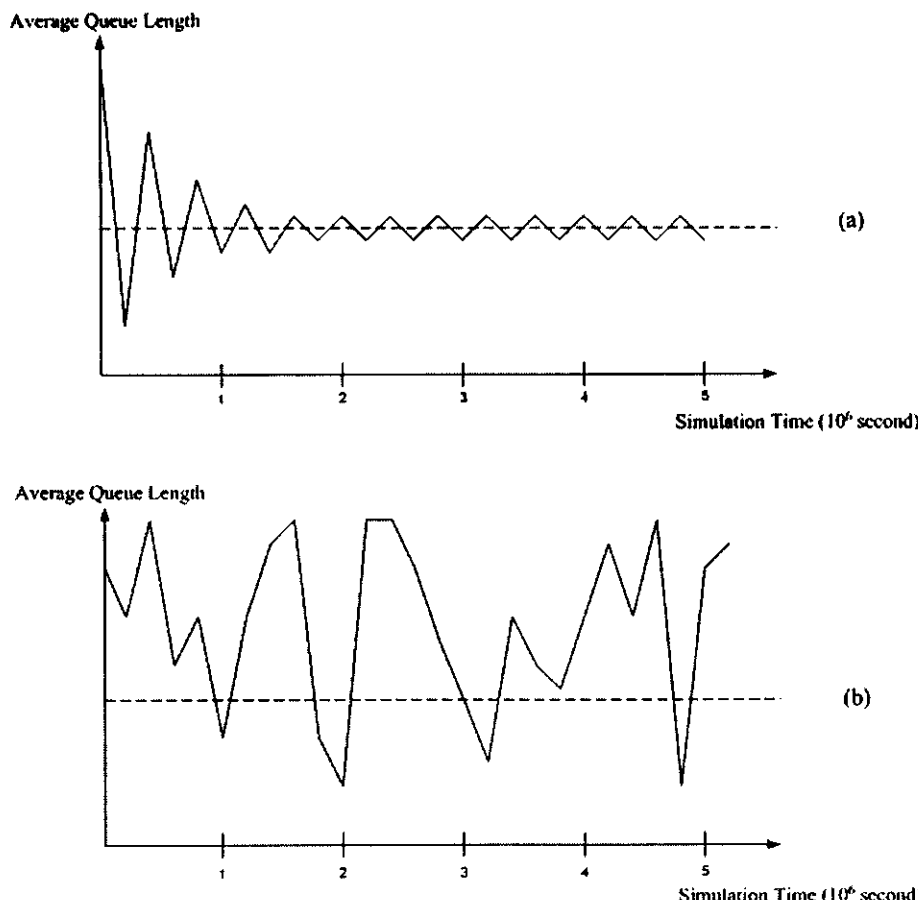
สำหรับทฤษฎี 1 รูปที่ 5.1 ได้แสดงให้เห็นถึงกระแสของแพ็กเกจและลักษณะของคิวที่เกิดขึ้น และจากการกำหนดค่าสำหรับการทดลองนี้ที่ได้กล่าวแล้วตอนต้น แล้วจะวัดขนาดความยาวเฉลี่ยของคิวแยกตามโภลค 70, 80, 85, 88, 90, 95 และ 98 เปอร์เซ็นต์ ดังแสดงในตารางที่ 5.1, 5.2, 5.3, 5.4, 5.5, 5.6 และ 5.7 ตามลำดับ



รูปที่ 5.1 แสดงทฤษฎี 1 ของการทดสอบ Object Management และ Data Distribution Management

สำหรับการจำลองที่เกี่ยวกับคิวนี้ จำเป็นที่จะต้องทำการจำลองโดยใช้ Simulation Time จนกระทั่งระบบเข้าสู่สภาวะมั�คง (Steady - State Condition) เพราะในช่วงระยะเวลาด้านๆ ของการจำลอง ระบบจะขึ้นอยู่กับเวลาที่ผ่านไปและสถานะเริ่มต้น (Initial State) ซึ่งเรียกว่าระบบอยู่ในสถานะชั่วคราว (Transient Condition) (วิชัย, 2544) ในสถานะมั่นคงผลลัพธ์จากการจำลองจะส្ម័គ្រា

หากค่าผลลัพธ์ทางทฤษฎีถ้าการสร้างระบบเป็นไปอย่างถูกต้อง ในการกลับกันระบบจำลองจะไม่สามารถหาสถานะมั่นคงได้ เนื่องจากระบบมีความผิดพลาด ดังแสดงในรูปที่ 5.2 รูป (a) ซึ่งระบบสามารถเข้าสู่สถานะมั่นคงได้หลังจากผ่านการจำลองไปช่วงระยะเวลาหนึ่ง สังเกตได้จากค่าความยาวคิวเฉลี่ยที่ใกล้เคียงกับค่าทางทฤษฎีและคงสภาพเช่นนี้เรื่อยไป แต่สำหรับรูป 5.2 (b) นั้นแสดงพฤติกรรมของระบบที่ไม่สามารถหาสถานะมั่นคงได้ ดังนั้นในหัวข้อที่ 5.1 นี้เราจะนำผลลัพธ์ที่ได้จากการทดลองนี้ไปเปรียบเทียบกับผลลัพธ์ทางทฤษฎีเพื่อให้เห็นว่าระบบได้อยู่ในสถานะมั่นคงแล้ว โดยใช้ Simulation Time เป็น 1,000,000, 2,000,000, 5,000,000 วินาที สำหรับการทดลองครั้งที่ 1, 2 และ 3 ตามลำดับ แล้วในตารางที่ 5.1 – 5.7 นั้นผลลัพธ์ทั้งหมดจะแสดงว่าระบบสามารถหาสถานะมั่นคงได้ คือ ค่าความยาวคิวเฉลี่ยที่วัดได้มีค่าใกล้เคียงผลลัพธ์ทางทฤษฎี แต่ยังไงก็ตามมีข้อจำกัดบางประการสำหรับการเปรียบเทียบดังจะกล่าวต่อไป



รูปที่ 5.2 (a) แสดงความยาวคิวเฉลี่ยของระบบที่สามารถเข้าสู่สถานะมั่นคงได้ และ (b) แสดงความยาวคิวเฉลี่ยของระบบที่ไม่สามารถเข้าสู่สถานะมั่นคงได้

ข้อจำกัดสำคัญที่มีผลต่อความแม่นยำของผลการคำนวณค่าต่อไปนี้ คือ กระบวนการมาลิงของแพ็กเกตจะต้องเป็นกระบวนการปั่นๆ (Poisson Process) ซึ่งกระบวนการมาลิงเป็นแบบไม่มีความจำ (Memoryless) (Bertsekas, Gallager, 1992) ซึ่งทำให้ไม่สามารถใช้สมการ (1) สำหรับการวิเคราะห์คิว B, C และ D เนื่องจากกระบวนการมาลิงของแพ็กเกตของคิวตั้งกล่าวส่วนผ่านคิว A โดยทั่วไปการวิเคราะห์ลักษณะของคิวที่มีความซับซ้อนจะนิยมใช้การจำลอง (วิชัย, 2544) แต่ถึงอย่างไรระบบการจำลองจะต้องถูกทดสอบถึงความถูกต้องในระดับหนึ่งก่อนนำไปใช้งาน ดังในวิทยานิพนธ์นี้การทดสอบจะทำเฉพาะกับคิว A ซึ่งสามารถเปรียบเทียบผลลัพธ์กับสมการ 5.1 ได้และเนื่องจากในทางซอฟต์แวร์การทำงานของคิว B, C และ D จะเรียกใช้ไปยังโมเดลของคิวเดียวกัน ซึ่งหากคิว A ทำงานถูกต้องคิวอื่นๆย่อมทำงานถูกต้องด้วย

ตารางที่ 5.1 แสดงความยาวคิวเฉลี่ยเมื่อโหลด 70 เปอร์เซ็นต์หรือใช้ความถี่เฉลี่ยของการปรับปรุงข้อมูลประมาณ 0.7952 แพ็กเกตต่อวินาที

ขนาดคิวเฉลี่ย ทดลองครั้งที่	คิว A	คิว B	คิว C	คิว D
1 (1,000,000วินาที)	1.53	0.71	0.81	0.92
2 (2,000,000วินาที)	1.62	0.69	0.83	0.98
3 (5,000,000วินาที)	1.74	0.74	0.78	1.01
คลาดเคลื่อนเฉลี่ย				
4.49 %				

ตารางที่ 5.2 แสดงความยาวคิวเฉลี่ยเมื่อโหลด 80 เปอร์เซ็นต์หรือใช้ความถี่เฉลี่ยของการปรับปรุงข้อมูลประมาณ 0.9088 แพ็กเกตต่อวินาที

ขนาดคิวเฉลี่ย ทดลองครั้งที่	คิว A	คิว B	คิว C	คิว D
1 (1,000,000วินาที)	3.26	1.12	1.24	1.31
2 (2,000,000วินาที)	3.37	1.23	1.26	1.53
3 (5,000,000วินาที)	3.15	1.10	1.33	1.28
คลาดเคลื่อนเฉลี่ย				
1.88 %				

ตารางที่ 5.3 แสดงความยาวคิวเฉลี่ยเมื่อโอลด 85 เปอร์เซ็นต์หรือใช้ความถี่เฉลี่ยของการปรับปูรุ่ง
ข้อมูลประมาณ 0.9656 แพ็คเกตต่อวินาที

ขนาดคิวเฉลี่ย ทดลองครั้งที่	คิว A	คิว B	คิว C	คิว D
1 (1,000,000วินาที)	4.69	1.94	2.26	2.43
2 (2,000,000วินาที)	4.73	2.03	2.25	2.66
3 (5,000,000วินาที)	4.93	2.16	2.41	2.47
ค่าคาดเดือนเฉลี่ย				
2.22 %				

ตารางที่ 5.4 แสดงความยาวคิวเฉลี่ยเมื่อโอลด 88 เปอร์เซ็นต์หรือใช้ความถี่เฉลี่ยของการปรับปูรุ่ง
ข้อมูลประมาณ 1 แพ็คเกตต่อวินาที

ขนาดคิวเฉลี่ย ทดลองครั้งที่	คิว A	คิว B	คิว C	คิว D
1 (1,000,000วินาที)	6.39	3.09	3.28	3.64
2 (2,000,000วินาที)	6.55	2.83	3.36	3.49
3 (5,000,000วินาที)	6.27	2.90	3.22	3.45
ค่าคาดเดือนเฉลี่ย				
2.87 %				

ตารางที่ 5.5 แสดงความยาวคิวเฉลี่ยเมื่อโอลด 90 เปอร์เซ็นต์หรือใช้ความถี่เฉลี่ยของการปรับปูรุ่ง
ข้อมูลประมาณ 1.0224 แพ็คเกตต่อวินาที

ขนาดคิวเฉลี่ย ทดลองครั้งที่	คิว A	คิว B	คิว C	คิว D
1(1,000,000วินาที)	7.89	3.62	3.95	4.21
2 (2,000,000วินาที)	8.16	4.00	4.13	4.42
3 (5,000,000วินาที)	8.07	3.81	4.16	4.26
ค่าคาดเดือนเฉลี่ย				
1.23 %				

ตัวอย่างการคำนวณความขาวของคิว A ทางทฤษฎีตามสมการ (1) คำนวณได้ดังนี้

$$\lambda = 1 \text{ พลิกเกต/วินาที} (\text{โหลด } 88 \text{ เปอร์เซ็นต์})$$

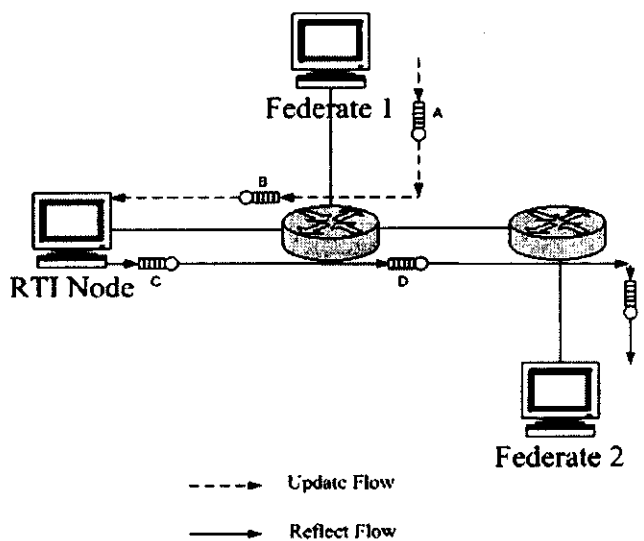
$$\mu = 1000/(8*110) = 1.136 \text{ พลิกเกต/วินาที}$$

$$\text{ดังนั้น } N_Q = 1 / 1.136 \times (1.136 - 1)$$

$$= 6.49 \text{ พลิกเกต}$$

สำหรับการคำนวณค่าอื่นๆ ก็ทำได้ในทำนองเดียวกันโดยเปลี่ยนค่า λ ซึ่งโดยสรุปค่าความขาวคิวเฉลี่ยทางทฤษฎีที่ได้สำหรับโหลด 70, 80, 85, 88, 90, 95 และ 98 เปอร์เซ็นต์อยู่ที่ 1.63, 3.20, 4.81, 6.49, 8.10, 18.05 และ 48.02 ตามลำดับ ซึ่งเมื่อเปรียบเทียบกับผลลัพธ์ในตารางที่ 5.1 ถึง 5.7 จะได้ค่าคาดคะเนประมาณ 4.49, 1.88, 2.22, 2.87, 1.23, 0.68 และ 0.29 เปอร์เซ็นต์ตามลำดับ

ดังนั้น การสร้างโมดูลเพิ่มข่ายของ HLA ในส่วนของ Object Management และ Data Distribution Management ลงใน ns ทำให้การทำงานโดยรวมของ ns เป็นปกติ รวมทั้งลักษณะทางกระบวนการของโมดูล HLA ก็เป็นไปตามข้อกำหนดมาตรฐาน



รูปที่ 5.3 แสดงทopholo โลยี 2 ของการทดสอบ Object Managementและ Data Distribution Management

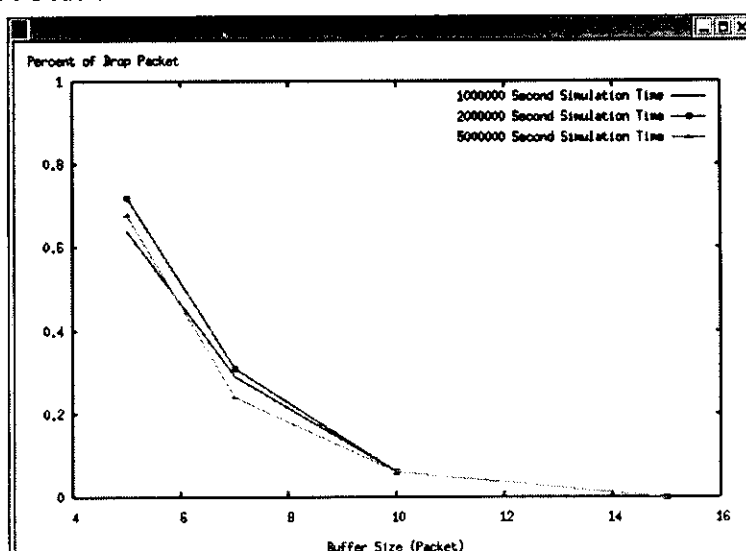
ต่อมาได้ทำการทดสอบ Federation เดิมแต่เปลี่ยนเป็นทopholo โลยี 2 และด้วยการกำหนดค่าเริ่มต้นเขียนเดียวกับที่ใช้ในการทดสอบแรก ผลลัพธ์จากการวัดค่าความขาวเฉลี่ยของคิว A ถึง D เหมือนกับทopholo โลยี 1 ทุกประการ แต่ในทopholo โลยี 2 มีเราเตอร์เพิ่มขึ้น 1 ตัว ทำให้เกิดคิว E ซึ่งมี

ความยาวคิวเฉลี่ยเท่ากัน 0.98, 1.41, 2.71, 3.62, 4.49, 11.16 และ 18.93 เมื่อใช้โอลด์ 70, 80, 85, 88, 90, 95 และ 98 เปอร์เซ็นต์ ตามลำดับ

ในทอพอโลยี 1 นั้นได้กำหนดให้ขนาดบัฟเฟอร์ของทุกคิวเป็น 10,000 ซึ่งจัดว่าใหญ่มาก เมื่อเทียบกับความยาวคิวเฉลี่ย ทำให้ไม่มีแพ็คเกตข้อมูลถูกคัดทิ้งที่คิว A ถึง D เลย นั่นหมายความว่า ทุกแพ็คเกตที่ถูกส่งจากอีองเบกต์ A จะถึงปลายทางที่ Federate 2 ทุกแพ็คเกต จึงกล่าวได้ว่า Federation นี้หากอยู่บนทอพอโลยี 1 จะมีความเชื่อถือได้ 100 เปอร์เซ็นต์ หรือมีความผิดพลาด 0 เปอร์เซ็นต์

ในทอพอโลยี 2 นั้น แพ็คเกตจากอีองเบกต์ A ที่ Federate 1 จะต้องผ่านคิว A, B, C, D และ E และถ้ากำหนดให้มีบัฟเฟอร์เป็น 10,000 ทุกคิว ก็จะทำให้ไม่มีแพ็คเกตข้อมูลถูกคัดทิ้งที่คิว A ถึง E เลย นั่นหมายความว่าทุกแพ็คเกตที่ถูกส่งจากอีองเบกต์ A จะถึงปลายทางที่ Federate 2 ทุกแพ็คเกต จนกล่าวได้ว่าการจำลองของ Federation นี้จะมีความผิดพลาด 0 เปอร์เซ็นต์ ดังนั้น Federation นี้แม้จะจำลองในทอพอโลยี 1 หรือ ทอพอโลยี 2 ก็ให้ค่าความผิดพลาด 0 เปอร์เซ็นต์เช่นกัน

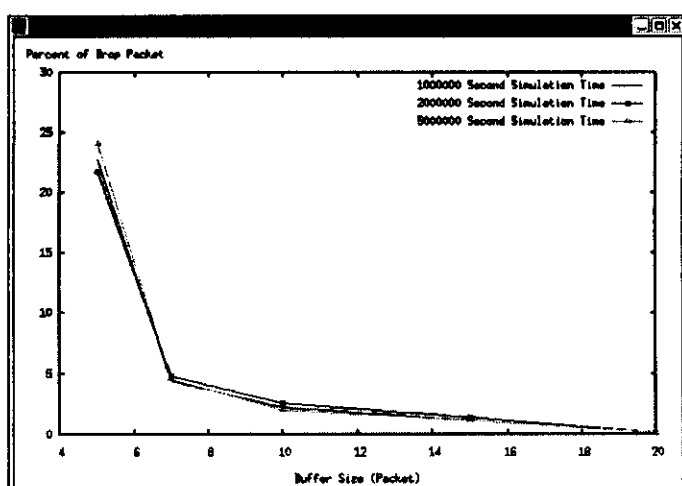
ต่อมาสมมติให้ขนาดของบัฟเฟอร์ที่คิว E มีขนาดเล็กลง รูปที่ 5.4 แสดงปริมาณแพ็คเกตที่ถูกคัดทิ้งเมื่อเปลี่ยนแปลงขนาดของบัฟเฟอร์ จะเห็นว่าเมื่อลดขนาดบัฟเฟอร์ลงจนเมื่อขนาดบัฟเฟอร์เหลือ 15 หน่วย ก็จะเริ่มสังเกตเห็นการคัดแพ็คเกตทิ้งโดยเราตรวจสอบอันเนื่องมาจากบัฟเฟอร์เดิม และปริมาณการคัดทิ้งจะเพิ่มสูงขึ้นเมื่อลดขนาดบัฟเฟอร์ลงเรื่อยๆ เช่น เมื่อลดบัฟเฟอร์เหลือขนาด 5 หน่วย ปริมาณแพ็คเกตที่ถูกคัดทิ้งประมาณ 0.7 เปอร์เซ็นต์จากปริมาณแพ็คเกตทั้งหมดที่ผลิตโดยอีองเบกต์ A นั่นคือหากลดขนาดบัฟเฟอร์ของคิว E ลงจนเหลือ 5 หน่วย ก็จะทำให้มีโอกาสที่แพ็คเกตที่ผลิตจากอีองเบกต์ A ถึงปลายทางไม่ครบทุกแพ็คเกต โดยมีแพ็คเกต 0.7 เปอร์เซ็นต์ที่ไม่ถึงปลายทาง หรือ Federation มีความผิดพลาด 0.7 เปอร์เซ็นต์



รูปที่ 5.4 แสดงอัตราการถูกคัดทิ้งเมื่อลดขนาดบัฟเฟอร์ที่คิว E ลงโดยทดสอบที่โอลด์ 88 เปอร์เซ็นต์

จากที่กล่าวมาทั้งหมด ทดสอบโดย 1 และทดสอบโดย 2 ที่ใช้ขนาดบันฟเฟอร์ใหญ่มากจะให้ความผิดพลาด 0 เปอร์เซ็นต์ แต่สำหรับทดสอบโดย 2 ที่กำหนดให้บันฟเฟอร์ที่คิว E เล็กลงจะมีความผิดพลาดมากขึ้น ทั้งๆที่ทั้งหมดคือ Federation เดียวกัน (เพียงแต่เปลี่ยนข้อกำหนดทางเครือข่าย)

ดังนั้นอาจกล่าวได้ว่า Federation ใดๆ แม้มีองค์ประกอบภายในเหมือนกันทุกประการ เช่น มีจำนวน Federate เหมือนกัน จำนวนอ้อมอกตัวเหมือนกัน ความถี่ในการปรับปรุงข้อมูลเท่ากัน แต่ถ้าไม่ข้อกำหนดทางเครือข่ายต่างกันแล้ว จะทำให้ Federation นั้นมีความเชื่อถือได้ไม่เท่ากัน



รูปที่ 5.5 แสดงอัตราการถูกคัดทิ้งเมื่อลดขนาดบันฟเฟอร์ที่คิว E ลงโดยทดสอบที่โหลด 90 เปอร์เซ็นต์

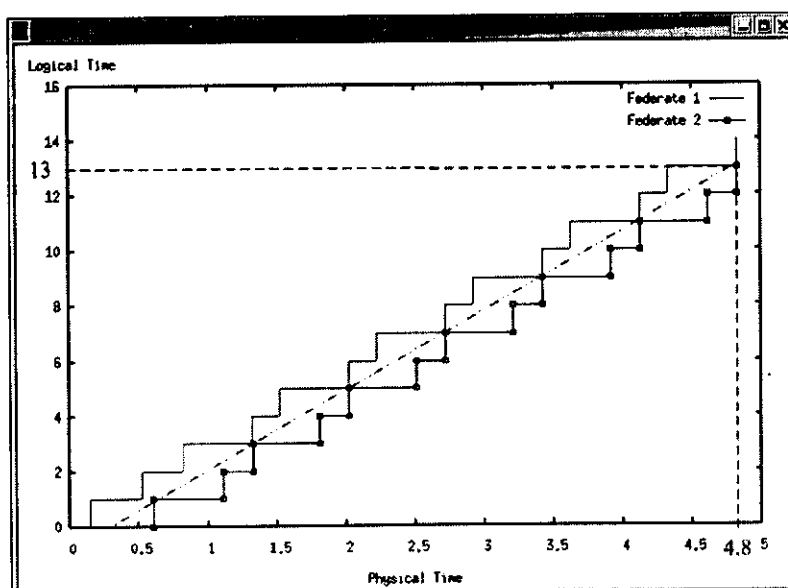
ในรูปที่ 5.5 นั้นเป็นผลการตรวจวัดการคัดแพ็คเกตทิ้งที่คิว E ในขณะที่มีโหลด 90 เปอร์เซ็นต์ ซึ่งขณะนี้คิว E มีความยาวเฉลี่ย 4.49 และเมื่อพิจารณาในทำงานของเดียวกับรูปที่ 5.4 (ซึ่งใช้โหลด 88 เปอร์เซ็นต์ และคิวยาวเฉลี่ย 3.62) โดยทำการลดขนาดบันฟเฟอร์ลงก็จะเห็นการคัดแพ็คเกตทิ้งมากขึ้นเรื่อยๆ โดยเริ่มจากขนาดบันฟเฟอร์ประมาณ 20 หน่วย ก็จะเริ่มสังเกตเห็นการคัดแพ็คเกตทิ้ง แต่เมื่อลดขนาดบันฟเฟอร์เหลือ 5 หน่วย ก็จะทำให้มีการคัดทิ้งประมาณ 22-24 เปอร์เซ็นต์ หรือมีความผิดพลาด 22-24 เปอร์เซ็นต์ ซึ่งผิดพลาดสูงกว่าที่โหลด 88 เปอร์เซ็นต์ ประเด็นนี้ชี้ให้เห็นว่า องค์ประกอบภายในของ Federation ที่เป็นตัวกำหนดโหลดให้กับระบบ ในท้ายที่สุดก็จะเป็นตัวกำหนดความเชื่อถือได้ของ Federation ด้วย ทั้งนี้หากเราพิจารณาขนาดความยาวคิวเฉลี่ยดังที่ได้เสนอไว้ในตารางที่ 5.1 ถึง 5.7 ก็พบว่าบ่งบอกได้ถึงความเชื่อถือได้ของ Federation อ่อนคร่าวๆ ได้ เช่นเดียวกัน

ดังนั้น ทั้งปัจจัยด้านเครือข่ายและปัจจัยด้านองค์ประกอบภายในของ Federation ก็จะส่งผลต่อความเรื่องดีไซน์ของ Federation ได้ แต่ในปัจจุบัน การหาข้อสรุประการความเรื่องดีไซน์ได้หรือความถูกต้องของ Federation นั้น ไม่สามารถทำล่วงหน้าได้ จะต้องทำหลังจากสร้างระบบจำลองเสร็จแล้วเท่านั้น ทำให้การสร้างระบบต้องยุ่งพื้นฐานของประสบการณ์ของนักออกแบบเป็นหลัก ซึ่งเดียวต่อความล้มเหลวของการสร้างระบบ ดังนั้น การทดสอบ HLA Federation เพื่อศึกษาความเรื่องดีไซน์ของ Federation บน ns ก่อนการสร้างระบบจริง จึงมีความจำเป็นอย่างยิ่ง

5.2 การทดสอบในดูด Time Management

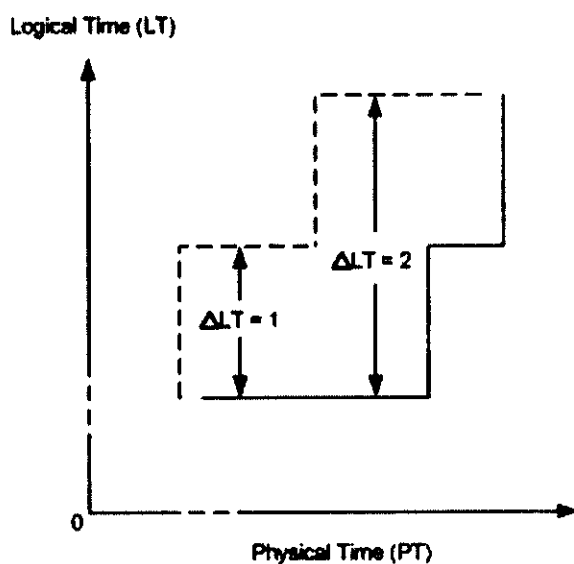
ในส่วนของ Time Management ได้ทำการทดสอบโดยใช้กอพอโลชี 1 ของตอนที่แล้วเป็นฐาน แล้วทำการวัดค่าการเคลื่อนของ Logical Time และจะใช้กราฟการเคลื่อนที่ของเวลาสำหรับเปรียบเทียบเพื่อวัดความถูกต้องของการจำลอง โดยการทดลองได้กำหนดค่าต่อไปนี้

- กำหนดให้ Federate 2 เป็น Regulating Federate และ Federate 1 เป็น Constrained Federate
- Federate ทั้งสองมี Lookahead เป็น 1
- เวลาหน่วงแพร่กระจายของลิงค์สำหรับ Federate 2 เป็น 100 ms สำหรับการทดลองแรกซึ่งแสดงผลดังกราฟ 5.6 และ เป็น 50 ms สำหรับการทดลองที่สองซึ่งจะแสดงผลในรูป 5.9
- แบบคิวท์ของทุกลิงค์เป็น 2 ล้านบิตต่อวินาที
- ใช้โปรโตคอล TCP เป็น Communication Agent
- ใช้ชื่อความร้องขอ TAR ในการขอเคลื่อนเวลา



รูปที่ 5.6 แสดงการเคลื่อนที่ของเวลาของ Federate 1 และ Federate 2 โดยกำหนดค่าให้เวลาหน่วงระหว่าง Federate 2 และเราเตอร์เป็น 100 ms

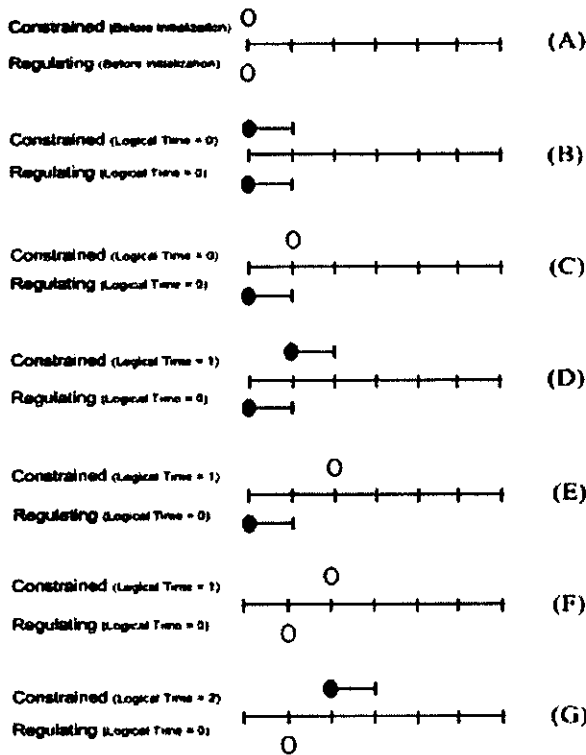
ในการทดลองแรกได้ทำการกำหนดค่าให้เวลาหน่วงระหว่าง Federate 1 และเราต่อรเป็น 100 ms แล้วทำการวัดค่าการเคลื่อนที่ของเวลาที่ Federate 1 และที่ Federate 2 หลังจากนั้นทำข้อมูลมาสร้างกราฟได้ดังรูปที่ 5.6 ซึ่งได้นำ Logical Time ของทั้งสอง Federate มาทำการเปรียบเทียบกับ Physical Time



รูปที่ 5.7 แสดงตัวอย่างความแตกต่างของ Logical Time ที่อาจเกิดขึ้น ได้จากการทดสอบ

การตรวจสอบความถูกต้องการทำโดยการสังเกตระบบห่างในแนวตั้งของ Logical Time ของทั้งสอง Federate ดังแสดงตัวอย่างในรูป 5.7 ข้อสังเกตคือหากได้ทำการกำหนดค่าการทดลองดังข้างต้นจะทำให้ที่ Physical Time ใดๆ จะไม่พบร่วมกันของ Logical Time เกิน 2 ($\Delta LT \leq 2$) ซึ่งความจริงข้อนี้จะได้จากการวิเคราะห์กราฟการเคลื่อนที่ของเวลาดังรูป 5.8

ุควิกฤตของกราฟการเคลื่อนที่ของเวลาในการทดลองนี้คือ กราฟรูป E นั่นคือ Constrained Federate ไม่อาจเคลื่อนเวลาได้ต่อไปจนกว่า Regulating Federate จะได้รับ TAG อนุญาตให้เคลื่อนที่เวลาหันจาก Logical Time เท่ากับ 0 เพื่อให้เห็นรายละเอียดมากขึ้น จะทำการอธิบายขั้นตอนวิธีเป็นลำดับ โดยจะเริ่มจากรูป C



รูปที่ 5.8 แสดงกราฟการเคลื่อนที่ของเวลา

รูป C

สถานะตั้งต้น ห้องส่อง Federate อยู่ที่ Logical Time เท่ากับ 0

ข้อ 1 Constrained Federate ขอ TAR(1) และเมื่อข้อความ TAR(1) ถึง RTI จะทำให้เกิดการคำนวณ LBTS

ข้อ 2 RTI คำนวณ LBTS ดังนี้

$$\begin{aligned} LBTS &= \min (T_{REG} + L_{REG}) \\ &= \min (0 + 1) \\ &= 1 \end{aligned}$$

ดังนั้น จึงอนุญาตให้ Constrained Federate ผู้ส่ง TAR(1) ได้รับการเคลื่อนเวลา

รูป D Constrained Federate ได้รับ TAG (1) ทำให้ Logical Time กลายเป็น 1

รูป E

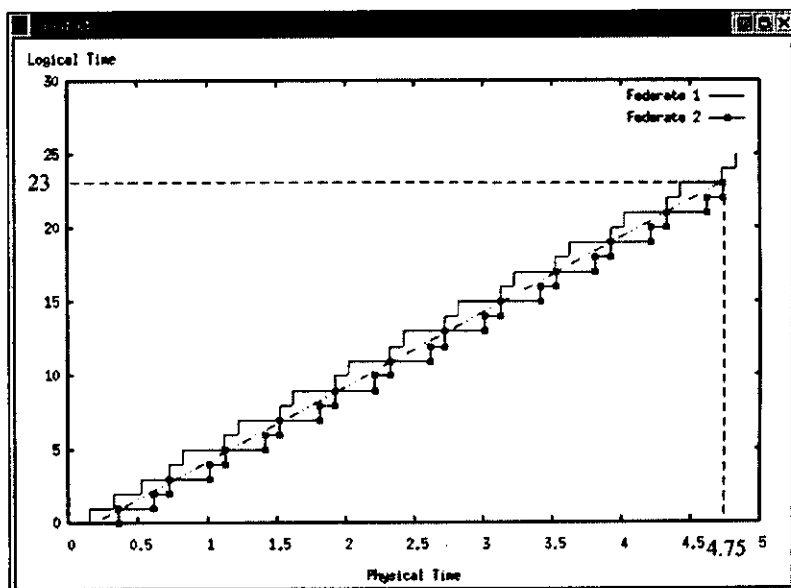
สถานะตั้งต้น Constrained Federate อยู่ที่ Logical Time เท่ากับ 1 ส่วน Regulating Federate อยู่ที่ Logical Time เท่ากับ 0

ข้อ 1 Constrained Federate ของ TAR(2) และเมื่อข้อความ TAR(2) ถึง RTI จะทำให้เกิดการคำนวณ LBTS

ข้อ 2 RTI คำนวณ LBTS ดังนี้

$$\begin{aligned} LBTS &= \min (T_{REG} + L_{REG}) \\ &= \min (0 + 1) \\ &= 1 \end{aligned}$$

เนื่องจาก $2 > 1$ จึงไม่อนุญาตให้ Constrained Federate ผู้ส่ง TAR(2) ได้รับการเคลื่อนเวลา Constrained Federate ซึ่งต้องรอ หนทางเดียวที่จะทำให้ Constrained Federate ได้รับอนุญาตให้เคลื่อนเวลาสู่ 2 ได้คือการที่ Logical Time ของ Regulating Federate ต้องเพิ่มขึ้นเป็น 1



รูปที่ 5.9 แสดงการเคลื่อนที่ของเวลาของ Federate 1 และ Federate 2 โดยกำหนดค่าให้เวลาหน่วงระหว่าง Federate 2 และเราเตอร์เป็น 50 ms

รูป E ได้แสดงให้เห็นจุดวิกฤตของการเคลื่อนที่ของเวลา ซึ่งสรุปได้ว่าในการทดลองนี้ Constrained Federate ไม่อาจเคลื่อนที่เวลาได้นานกว่า Regulating Federate เกิน 2 และในเมื่อการทดลองนี้ ได้กำหนดให้ Federate 1 เป็น Constrained Federate และกำหนดให้ Federate 2 เป็น Regulating Federate จึงทำให้ช่วงห่างของ Logical Time ที่วัดได้จากทั้งสอง Federate ห่างกันไม่เกิน 2 ด้วยเช่นกัน ซึ่งเมื่อเปรียบเทียบกับรูป 5.6 และ 5.9 ก็จะเห็นความจริงดังกล่าว

ผลการทดลองในรูป 5.9 แสดงว่าเมื่อ Physical Time ผ่านไปประมาณ 4.8 วินาที ทำให้ Logical Time เป็น 13 ซึ่งสามารถคำนวณเป็นความชัน(ความแనวเส้นประ) ได้คือ $13/4.8 = 2.7$ ส่วนผลการทดลองในรูป 5.8 Physical Time ผ่านไปประมาณ 4.75 วินาที ทำให้ Logical Time เป็น 23 ซึ่งสามารถคำนวณเป็นความชัน ได้คือ $23/4.75 = 4.84$

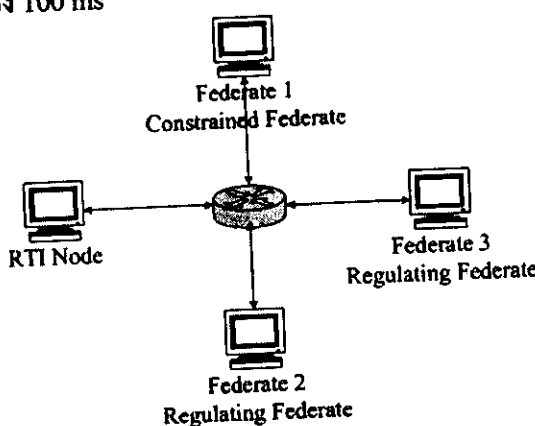
จะเห็นได้ว่าในช่วงเวลา Physical Time ที่เท่ากันใดๆ หาก Federation ได้สามารถเคลื่อนที่ Logical Time ได้มากกว่าแสดงว่า มีแนวโน้มที่จะทำการจำลองได้เร็วกว่า Federation ที่เคลื่อนที่ Logical Time ได้น้อยกว่า หรือจะสังเกตความเร็วจากความชันของเส้นประก็ได้ ซึ่งจาก Federation ในรูป 5.6 นั้นความชันเป็น 2.7 ซึ่งน้อยกว่ารูป 5.9 ซึ่งมีความชัน 4.84 ซึ่งความชันนี้จะเรียกว่า สัมประสิทธิ์ความเร็วของกุญแจการจำลอง (Coefficient of Federation Speed)

จากการกำหนดค่าให้เวลาหน่วงของ รูป 5.6 ซึ่งมากกว่า รูปที่ 5.9 แล้วทำให้สัมประสิทธิ์ความเร็วของกุญแจการจำลองเปลี่ยนไปนั้นแสดงให้เห็นว่า ทอพอลอยด์ที่ต่างกันออกไปทำให้สมรรถนะเชิงความเร็วของ Federation เปลี่ยนไปด้วย ซึ่งการศึกษาสมรรถนะของระบบล่วงหน้า เช่นนี้ จะทำให้ผู้ออกแบบระบบการจำลองสามารถคาดคะมารถนะและขีดจำกัดของระบบได้ก่อน การสร้างระบบจริง เพื่อเป็นการประกันความสำเร็จของการออกแบบระบบการจำลองได้ในระดับหนึ่ง

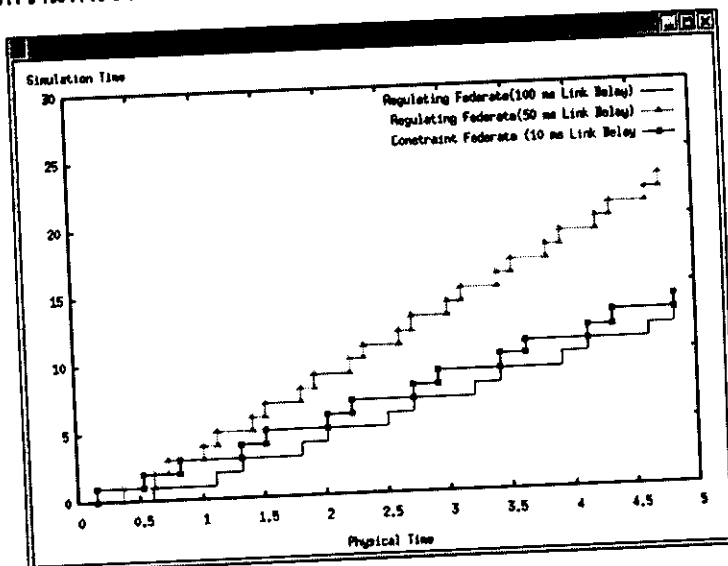
และการทดสอบที่สาม ซึ่งมีทอพอลอยด์ดังรูปที่ 5.10 โดยข้อกำหนดสำหรับการจำลองสำหรับ Federate 1 และ 2 เมื่ອនการทดลองแรก คือ Federate 1 เป็น Constrained Federate โดยทำการสมัครสมาชิกแก่ Regulating Federate ทั้ง 2 และ Federate 2 เป็น Regulating Federate และได้เพิ่ม Federate 3 ซึ่งเป็น Regulating Federate เพิ่มขึ้นอีก 1 Federate โดยมีเวลาหน่วงระหว่างเราเตอร์ และ Federate 3 เป็น 50 ms

จากข้อกำหนดจะได้ว่า Constrained Federate จะต้องตอบอยู่ภายใต้อิทธิพลทางด้านเวลาของ Regulating Federate ทั้ง 2 สำหรับ Regulating Federate ซึ่งขณะนี้ไม่มีอยู่ภายใต้อิทธิพลทางด้านเวลาของ Federate ใดๆ เลย การเคลื่อนที่ของเวลาจึงเคลื่อนที่อย่างอิสระหรือสามารถจะเร็วได้เท่าที่เครือข่ายอ่านวัยให้ โดย Regulating Federate ที่มีความหน่วงการแพร์กระจายของลิงค์ต่ำกว่าจะมีความชันมากกว่า แต่จากการทดลองแล้วจากการทดลองแสดงดังรูปที่ 5.11 ซึ่งทำให้เห็นว่า ความสามารถในการเคลื่อนที่ของเวลาของ Constrained Federate นั้นผูกติดอยู่กับ Regulating Federate ที่มีเวลาหน่วงแพร์กระจายของลิงค์เป็น 100 ms ทั้งนี้ เพราะ Constrained Federate นั้นไม่อาจละเมิดกฎของ LBTS ซึ่งจะต้องนำ Regulating Federate ที่มีค่าเวลาน้อยที่สุดมาพิจารณา ซึ่งในที่นี้จะหมายถึง Regulating Federate ที่มีเวลาหน่วงของการแพร์กระจายของลิงค์เป็น 100 ms นั้นเอง

ดังนั้นจึงอาจถูกได้ว่าสำหรับ Constrained Federate นั้นความสามารถในการเคลื่อนเวลาจะขึ้นอยู่กับความสามารถในการเคลื่อนเวลาของ Regulating Federate ที่มากที่สุด ซึ่งในที่นี่คือ Federate 2 ซึ่งมีความหน่วง 100 ms

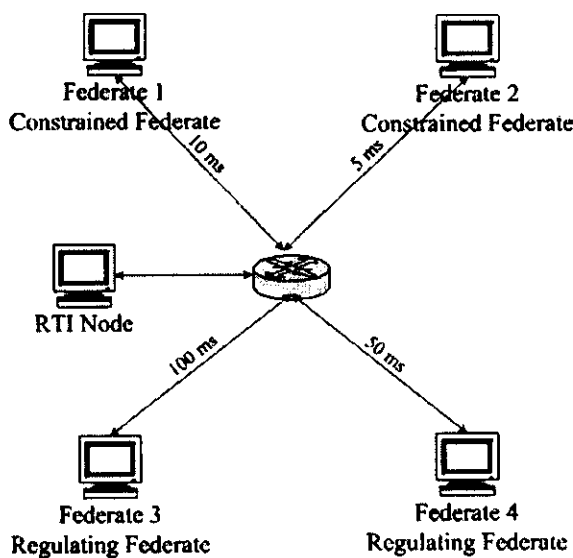


รูปที่ 5.10 แสดง拓扑โลบีสำหรับการทดลองที่มี Regulating Federate 2 Federate 3 โดยระหว่างเราเตอร์กับ Federate 2 มีความหน่วง 100 ms และ Federate 3 ความหน่วง 50 ms

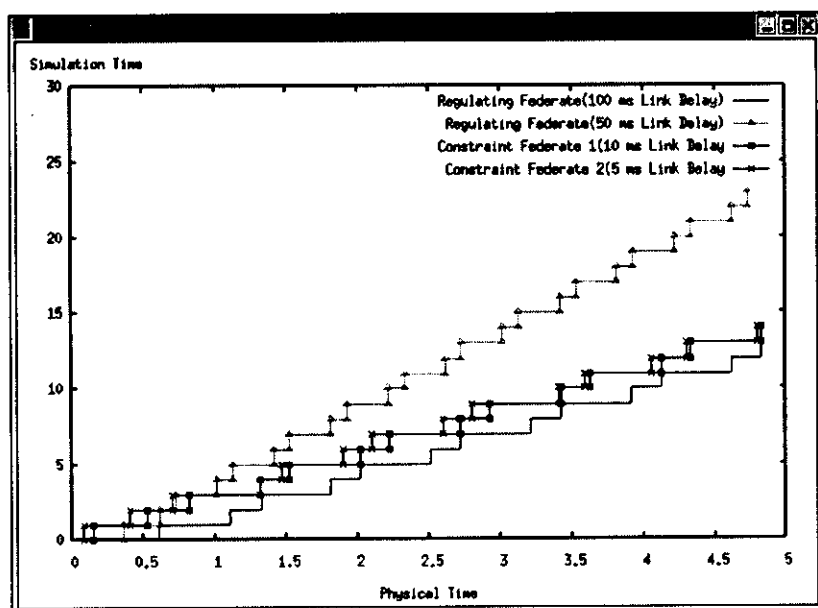


รูปที่ 5.11 แสดงการเคลื่อนที่ของเวลาของ Federate 1 ,Federate 2 และ Federate 3 โดย กำหนดค่าให้เวลาหน่วงระหว่าง Federate 2 กับเราเตอร์เป็น 100 ms และ Federate 3 กับเราเตอร์เป็น 50 ms

ต่อมาจะพิจารณาในกรณีที่ Federation มีองค์ประกอบดังรูปที่ 5.12 ซึ่งคล้ายกับกรณีที่ผ่านมา เพียงแต่ได้เพิ่มให้มี Constrained Federate ที่มีความหน่วงแพร่กระจายของลิงค์ 5 ms เพิ่มอีก 1 Federate โดยกำหนดให้ Constrained Federate ทั้ง 2 สมัครสมาชิกกับ Regulating Federate ทั้ง 2 Federate โดยผลลัพธ์ของการจำลองได้แสดงไว้ในกราฟเคลื่อนที่ของเวลาในรูปที่ 5.13



รูปที่ 5.12 แสดงหอโพโลยีสำหรับการทดลองที่มี Regulating Federate 2 และมี Constrained Federate 2 Federate

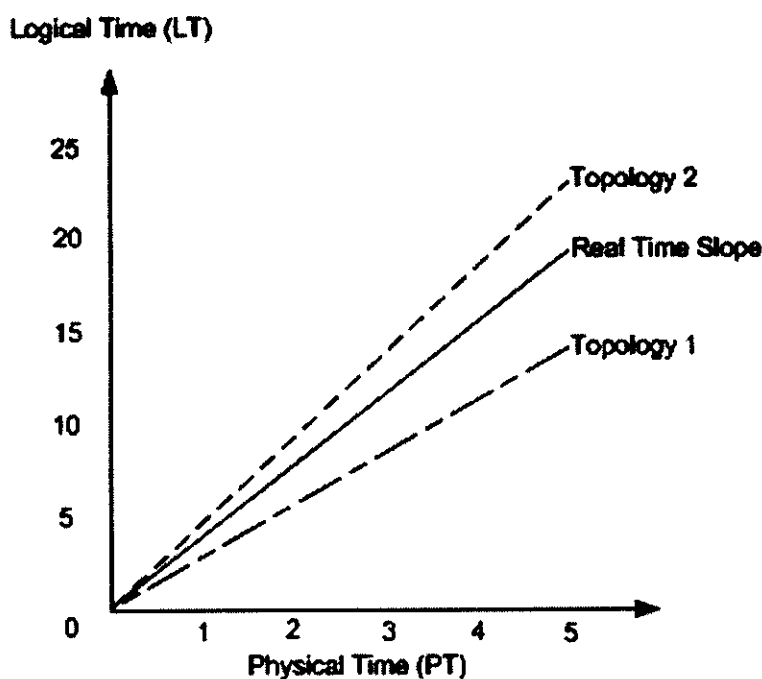


รูปที่ 5.13 แสดงการเคลื่อนที่ของเวลาของ Federate 1, 2, 3 และ 4 ของหอโพโลย์ในรูปที่ 5.11

โดยผลลัพธ์ของการจำลองสามารถพิจารณาได้ว่า ในเมื่อ Constrained Federate ทั้ง 2 ต้องตกลอยู่ภายใต้อิทธิพลการเคลื่อนที่ของเวลาของ Regulating Federate ทั้ง 2 Federate ดังนั้น Regulating Federate ได้สามารถเคลื่อนที่เวลาได้ช้าที่สุดก็จะเป็นตัวกำหนดความสามารถของ การเคลื่อนที่ของเวลาของ Constrained Federate ไปโดยปริยาย ซึ่งความจริงนี้ก็เป็นไปในทำนองเดียวกันในกรณีที่ผ่านมา แต่ถ้าพิจารณาแต่ละ Constrained Federate ก็จะพบว่า Constrained

ยกตัวอย่างการวิเคราะห์สภาวะการจำลองแบบเวลาจริงดังปรากฏในรูป 5.14 สมมติให้ความต้องการของระบบเป็นดังเส้นที่นี่ (Real Time Slope) จะเห็นว่าจากข้อกำหนดดังกล่าวทอพโอลี ชี 1 (รูป 5.6 ความหน่วง 100ms) มีสัมประสิทธิ์ความเร็วของกลุ่มการจำลองน้อยกว่าความต้องการของระบบ สำหรับ Federation เดียวกัน แต่ถ้าใช้ทอพโอลี ชี 2 (รูป 5.9 ความหน่วง 50ms) ที่มีค่าเวลาหน่วงต่ำกว่า พนวณสัมประสิทธิ์ความเร็วของกลุ่มการจำลองมากกว่าความต้องการของระบบ

การวิเคราะห์สภาวะการจำลองแบบเวลาจริงทำได้ยากหากศึกษาจากระบบจริง ซึ่งอยู่ภายใต้อิทธิพลของข้อกำหนดทางเครือข่าย แต่สามารถศึกษาได้ผ่านทางการจำลองด้วยโมดูลเพิ่มขยายของ HLA ดังได้เสนอแนวคิดการศึกษาวิเคราะห์จากการจำลองมาทั้งหมด



รูปที่ 5.14 แสดงตัวอย่างการวิเคราะห์สภาวะการจำลองแบบเวลาจริง

5.4 การจำลองของ Federation ขนาดใหญ่

ในส่วนนี้ได้ทำการทดสอบโมดูลการจำลองของ HLA กับ Federation ที่มีขนาดใหญ่เพื่อศึกษาระยะเวลาการประมวลผล โดยการทดลองนี้ได้ทำในเครื่องคอมพิวเตอร์ที่ใช้ในโคร์โปรเซสเซอร์ Intel Celeron 1.7 กิกะ赫ริตซ์ หน่วยความจำ 128 เมกะไบต์ ระบบปฏิบัติการ Linux (Red Hat รุ่น 7.2) โดยกำหนดให้ Federation มีลักษณะดังรูปที่ 5.15 โดยมี 1 Regulating

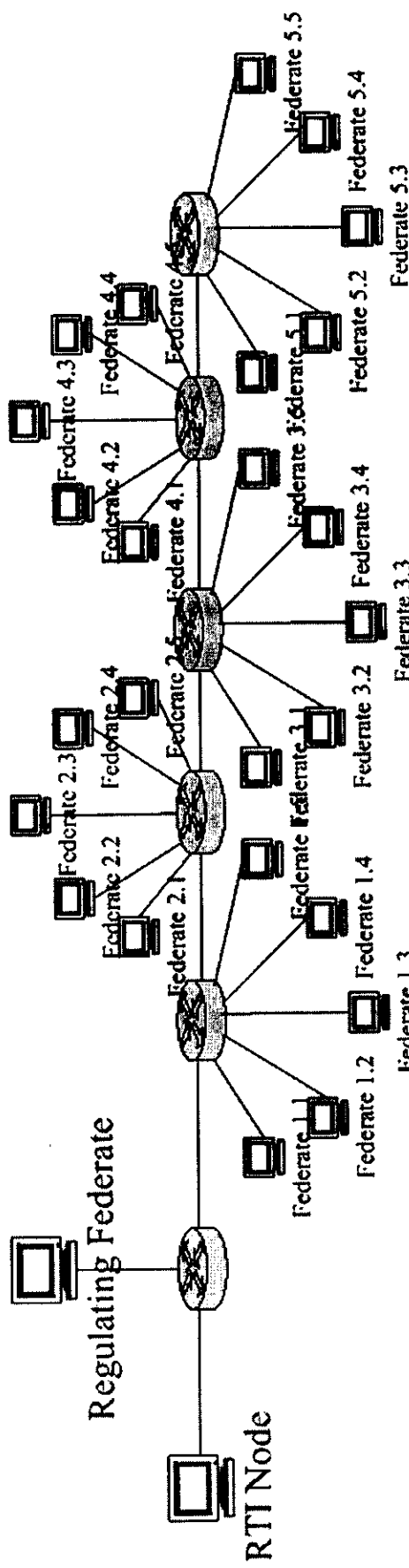
Federate และมี 25 Constrained Federate โดยใช้ Simulation Time 5 วินาที ซึ่งสามารถทำการจำลองได้เร็วภายใน 16 วินาที และหากนั้นได้ขยายการจำลองให้มีขนาดใหญ่ขึ้นเป็น 50 Constrained Federate ซึ่งสามารถทำการจำลองได้เร็วด้วยเวลาประมาณ 52 วินาที

อย่างไรก็ตาม การทดสอบนี้ได้ทำการทดสอบในสภาวะการใช้งานแบบผู้ใช้ปกติ ผลการทดสอบจึงเป็นการวัดโดยประมาณ หากต้องการผลการทดสอบที่แม่นยำมากขึ้นจำเป็นจะต้องกำหนดสภาวะแวดล้อมของระบบให้ชัดเจน โดยการควบคุมให้มีเฉพาะไปรษณีย์ที่จำเป็นสำหรับการจำลองเท่านั้น แต่ผลการทดสอบก็เพียงพอที่จะแสดงว่าไม่มีผลกระทบต่อการทำงานของ HLA นี้สามารถทำงานได้ในเครื่องคอมพิวเตอร์เพียงเครื่องเดียวสำหรับการทดสอบ Federation ขนาดประมาณ 50 Federate แต่ทั้งนี้ระบบการจำลองที่สร้างขึ้นในวิทยานิพนธ์นี้สามารถรองรับจำนวน Federate ได้อย่างไม่จำกัด เพียงแต่จะทำให้ระบบทำงานช้าลงเนื่องจากข้อจำกัดเรื่องทรัพยากรของเครื่องคอมพิวเตอร์

ทั้งนี้หากต้องการทำการจำลองในระบบที่มีขนาดใหญ่กว่านี้หรือต้องการความเร็วมากขึ้นก็อาจใช้ระบบการจำลองแบบกระจายซึ่งปัจจุบัน ns ได้ทำการสนับสนุนแล้ว แต่ต้องอาศัยส่วนการทำงานเพิ่มเติมเรียกว่า Parallel/Distributed ns (PDns, 2004) ซึ่งคาดว่าจะทำให้การจำลองทำงานได้รวดเร็วมากขึ้น เพราะ PDns จะกระจายการประมวลผลออกไปยังเครื่องสมาชิกให้ช่วยการประมวลผลได้

5.5 สรุป

ในบทนี้ได้กล่าวถึงการทดสอบความถูกต้องของโมดูล HLA ทั้งในส่วนของ Object Management, Data Distribution Management และ Time Management โดยนำผลการทดลองมาเปรียบเทียบกับผลลัพธ์ทางทฤษฎี และได้ทำการทดสอบการจำลองของ Federation ที่มีขนาดใหญ่ แต่สีก�性เวลาของการประมวลผล นอกจากนี้ยังได้เสนอแนวทางการประยุกต์ใช้ในโมดูล HLA และแนวทางการวิเคราะห์สมรรถนะใน 3 ประเด็นหลัก คือ ประเด็นความเชื่อถือได้ของ Federation การประเมินความเร็วของ Federation จาก Regulating Federate ที่เข้าที่สุดและการวิเคราะห์สภาวะการจำลองแบบเวลาจริง



รูปที่ 5.15 แสดงการเชื่อมต่อใน Federation บน 25 Federate